

HHN ASE ET1 (304041) · Klausur SS2020 (R. Bayer) · Lösung r1.1.0

Klausur SS2020 r100

HHN Hochschule Heilbronn · ASE  
ET1 (304041) · Klausur SS2020 · R. Bayer

Matrikel-Nr.: \_\_\_\_\_  
Blatt 1 / 4

|                                    |   |                        |       |
|------------------------------------|---|------------------------|-------|
| Aufgabenblätter<br>inkl. Deckblatt | 4 | Anzahl<br>Lösungsbogen | _____ |
|------------------------------------|---|------------------------|-------|



HHN Hochschule Heilbronn  
ASE ET1 (304041) R. Bayer Rev. 1.0.0 Klausur SS2020

Dozent Dipl.-Ing. FH Rainer Bayer Datum 16.07.2020

Matrikelnummer auf jedem Blatt/Bogen (Aufgaben und Lösungen) in der Kopfzeile eintragen

Studienjahrgang \_\_\_\_\_ Zeit 60 min

Hilfsmittel Taschenrechner; Beiblatt Lösung DGL 1.O.; Formelsammlung 3 Blätter A4

Bewertung Punktzahl 100% \_\_\_\_\_ Punkte \_\_\_\_\_

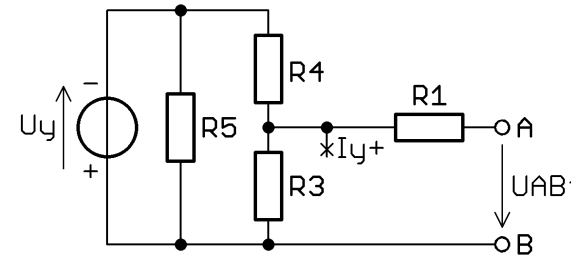
Datum, Signum \_\_\_\_\_ Ergebnis \_\_\_\_\_

Berechnen Sie Zahlenwerte auf 4 signifikante Stellen!

| Aufg.       | Thema                                      | Blatt | a) | b) | c) | d) | e) | f) | Σ  |
|-------------|--|-------|----|----|----|----|----|----|----|
| 1           | Ersatzquelle                               | 2     | 16 | 4  |    |    |    |    | 20 |
| 2           | Linearer Lastwiderstand an linearer Quelle | 2     | 5  | 3  | 10 |    |    |    | 18 |
| 3           | Knotenpotenzialverfahren                   | 3     | 16 | 6  |    |    |    |    | 22 |
| 4           | DC-Schaltvorgang 1. Ordnung                | 4     | 8  | 8  | 4  |    |    |    | 20 |
| Bemerkungen |  |       |    |    |    |    |    |    | 80 |

HHN ASE ET1 (304041) R. Bayer

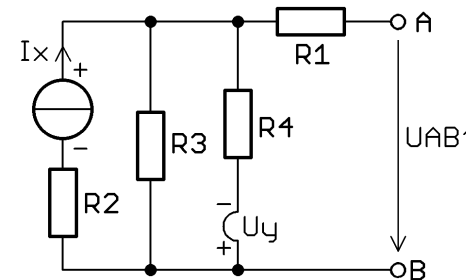
1 Ersatzquelle 20



Lsg-Abb. 1.1:  
Nur  $U_Y$  aktiv

Spannungsteiler (R1 stromlos, d.h. kein Spannungsfall)

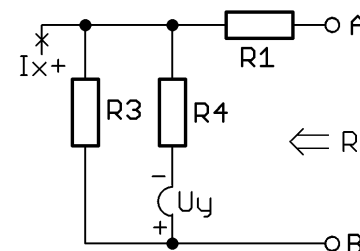
$$U'_{AB,LL} = - \frac{R3}{R3 + R4} \cdot U_Y = -2,143 \text{ V}$$



Lsg-Abb. 1.2:  
Nur  $I_X$  aktiv

(R1 stromlos, d.h. kein Spannungsfall / keine Stromteilung)

$$U''_{AB,LL} = + (R3 \parallel R4) \cdot I_X = +1,714 \text{ V}$$



Lsg-Abb. 1.3:  
Innenwiderstand  $R_i$

$$R_i = R1 + R3 \parallel R4 = 2,714 \text{ k}\Omega$$

## 1 Ersatzquelle (fortgesetzt)

$$U_0 = U_{AB,LL} = U'_{AB,LL} + U''_{AB,LL}$$

$$U_0 = -\frac{R_3}{R_3 + R_4} \cdot U_Y + (R_3 \parallel R_4) \cdot I_X$$

$$U_0 = \frac{R_3}{R_3 + R_4} \cdot (R_4 \cdot I_X - U_Y)$$

$$U_0 = -0,429 \text{ V}$$

$$R_i = R_1 + R_3 \parallel R_4$$

$$R_i = 2,714 \text{ k}\Omega$$

a) Skizzen: 8; Formeln: 8

16

b) Zahlenwerte

4

## 2 Linearer Latwiderstand an linearer Quelle

18

a) Sinkt die Stromabgabe, so erhöht sich die Klemmenspannung:

5

$$P_1 = (10 \text{ mA} \mid 1,5 \text{ V}); P_2 = (8 \text{ mA} \mid 1,6 \text{ V}) \rightarrow \underline{U_{AB2} = 1,6 \text{ V}}$$

$$\underline{R_i} = \frac{U_{AB1} - U_{AB2}}{I_{AB2} - I_{AB1}} = \left| \frac{\Delta U_{AB}}{\Delta I_{AB}} \right| = \frac{0,1 \text{ V}}{2 \text{ mA}} = \underline{50 \Omega}$$

$$\underline{U_0} = I_{AB} \cdot R_i + U_{AB} = \underline{2 \text{ V}}$$

b) – Leistungsanpassung

3

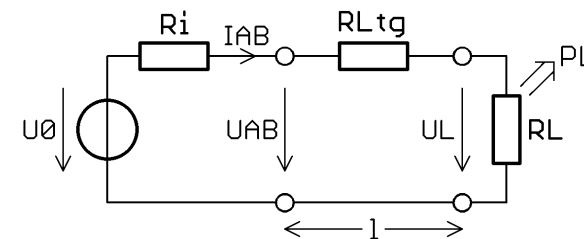
$$- \underline{R_L} = R_i$$

$$- \underline{P_{\max}} = \frac{U_0^2}{4 \cdot R_i} = \frac{(2 \text{ V})^2}{4 \cdot 50 \Omega} = \underline{20 \text{ mW}}$$

c) – Lin. Sensor:  $R_L = \text{konst.}$ ; Bemessungsdaten: Nenndaten

10

$$R_{L,\text{Nenn}} = \frac{U_{\text{Nenn}}^2}{P_{L,\text{Nenn}}} \rightarrow \underline{R_L} = \frac{U_{\text{Nenn}}^2}{P_{L,\text{Nenn}}} = \frac{(1,8 \text{ V})^2}{15 \text{ mW}} = \underline{216 \Omega} (\neq R_i)$$



Lsg-Abb. 2:  
Last  $R_L$  über Lei-  
tung ( $R_{Ltg}$ ) an der  
Quelle ( $U_0$ ;  $R_i$ );  
Leitungslänge  $l$

– Betrieb an der Quelle

$$\underline{I_{AB}} = I_L = \frac{U_{L,\min}}{R_L} = \frac{1,6 \text{ V}}{216 \Omega} = \underline{7,407 \text{ mA}}$$

$$\underline{R_i + R_{Ltg}} = \frac{U_0 - U_{L,\min}}{I_{AB}} = \frac{(2 - 1,6) \text{ V}}{7,407 \text{ mA}} = \underline{54 \Omega}$$

$$\underline{R_{Ltg}} = 54 \Omega - R_i = \underline{4 \Omega}$$

2 Linearer Latwiderstand an linearer Quelle (fortgesetzt)

– Doppelader: zweifache Länge  $l$  (Hin- und Rückleiter) bzw. doppelter Widerstand einer Einzelader

$$\underline{A} = d^2 \cdot \frac{\pi}{4} = (0,8 \text{ mm})^2 \cdot \frac{\pi}{4} = \underline{0,5027 \text{ mm}^2}$$

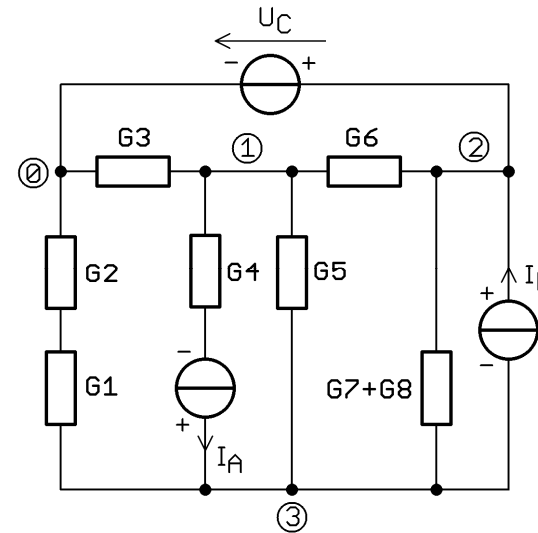
$$R_{Ltg} = 2 \cdot \frac{\rho \cdot l}{A} \rightarrow$$

$$\underline{l_{\max}} = \frac{R_{Ltg} \cdot A}{2\rho} = \frac{4 \Omega \cdot 0,5027 \text{ mm}^2}{2 \cdot 17,86 \cdot 10^{-3} \frac{\Omega \cdot \text{mm}^2}{\text{m}}} = \underline{56,29 \text{ m}}$$

– Tatsächlicher Leistungsumsatz in der Last  $R_L$

$$\underline{P_L} = I_{AB}^2 \cdot R_L = (7,407 \text{ mA})^2 \cdot 216 \Omega = \underline{11,85 \text{ mW}} (< P_{L,Nenn})$$

3 Knotenpotenzialverfahren



Lsg-Abb. 3:  
Netzwerk mit Um-  
wandlung  $U_B$  zu  $I_B$  unter  
Zusammenfassung  
von  $G7; G8$

- a) Ideale Spannungsquelle  $U_C$  zw. Knoten 2 (+) und 0 (-)  $\rightarrow \varphi_2 = U_C$  16  
 Reale Spannungsquelle  $U_B$  mit  $R_{iB} = 1 / (G7+G8)$  umgewandelt  
 in reale Stromquelle mit  $I_B = U_B \cdot G_{iB}$ ;  $G_{iB} = G7+G8$

$$\begin{pmatrix} G3 + G5 + G6 & -G6 & -G5 \\ \dots & \dots & \dots \\ -G5 & -(G7 + G8) & G^* + G5 + G7 + G8 \end{pmatrix} \cdot \begin{pmatrix} \varphi_1 \\ \dots \\ \varphi_3 \end{pmatrix} = \begin{pmatrix} -I_A \\ \dots \\ +I_A - I_B \end{pmatrix}$$

$$\begin{pmatrix} G3 + G5 + G6 & -G5 \\ -G5 & G^* + G5 + G7 + G8 \end{pmatrix} \cdot \begin{pmatrix} \varphi_1 \\ \varphi_3 \end{pmatrix} = \begin{pmatrix} -I_A + U_C \cdot G6 \\ +I_A - I_B + U_C (G7 + G8) \end{pmatrix}$$

mit  $\varphi_2 = U_C$ ;  $G^* = \frac{G1 \cdot G2}{G1 + G2}$ ;  $I_B = U_B \cdot (G7 + G8)$

- b)  $G1 = G2 = G3 = 10 \text{ mS}$ ;  $G4 = G5 = G6 = 5 \text{ mS}$ ;  $G7 + G8 = 4 \text{ mS}$ ; 6  
 $G^* = 5 \text{ mS}$ ;  $I_A = 1 \text{ A}$ ;  $I_B = 150 \text{ V} \cdot 4 \text{ mS} = 0,6 \text{ A}$ ;  $U_C = 100 \text{ V}$

$$\begin{pmatrix} 20 & -5 \\ -5 & 14 \end{pmatrix} \text{ mS} \cdot \begin{pmatrix} \varphi_1 \\ \varphi_3 \end{pmatrix} = \begin{pmatrix} -0,5 \\ 0,8 \end{pmatrix} \text{ A}; \varphi_2 = 100 \text{ V}$$

## 4 DC-Schaltvorgang

20

Allg.: im stationären Zustand ( $0 < R_i < \infty$ ):  $du_C/dt = 0$ ;  $di_C/dt = 0$ ;  $i_C = 0$

- a) –  $R_i$ : unmittelbar nach dem Schaltvorgang ( $S$  betätigt) vom Energiespeicher aus gesehen, Quellen unwirksam gemacht: 8

$$\boxed{R_i = R1 \parallel R2}; \quad \boxed{\tau = R_i \cdot C = (R1 \parallel R2) \cdot C}$$

- $u_C(0)$ : Stetigkeitsbedingung  $\rightarrow u_C(0) = u_C(0_-)$

$$\boxed{u_C(0) = U_0}$$

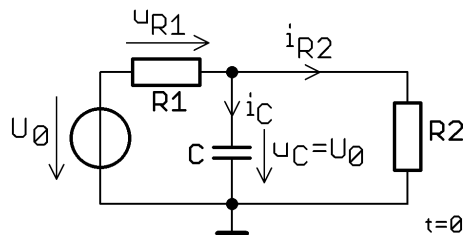
$u_C(\infty)$ ;  $i_C(\infty)$ :  $S$  betätigt; neuer stationärer Zustand

$$\boxed{u_C(\infty) = \frac{R2}{R1 + R2} \cdot U_0}; \quad \boxed{i_C(\infty) = 0}$$

- $i_C(0)$ : sprungfähig.  $S$  betätigt. Wg.  $u_C(0) = U_0$  ist  $u_{R1}(0) = 0$  und damit  $i_{R1}(0) = 0 \rightarrow i_C(0)$  fließt entgegen der Pfeilung durch  $R2$

$$i_C(0) = -i_{R2}(0)$$

$$\boxed{i_C(0) = -\frac{U_0}{R2}}$$



Lsg-Abb. 4.1:

Ermittlung von  $i_C(0)$

- b) –  $\underline{u_C(0) = -2 \text{ V}}$ ;  $\underline{u_C(\infty) = +10 \text{ V}}$

Pro  $\tau$  ändern sich  $u_C(t)$  und  $i_C(t)$  um 63%, s. Lsg-Abb. 4.2. Es empfiehlt sich, an  $i_C(t)$  abzulesen.: wg.  $i_C(\infty) = 0$  ist  $i_C(1\tau) = 37\%$  von  $i_C(0)$ :

$$\underline{i_C(1\tau) = 0,37 \cdot i_C(0) = 0,37 \cdot 10 \text{ mA} = 3,7 \text{ mA}} \quad \rightarrow \quad \underline{\tau = 2 \text{ ms}}$$

An  $u_C(t)$  erhält man mit:

$$u_C(1\tau) = 0,63 \cdot [u_C(\infty) - u_C(0)] + u_C(0)$$

$$\underline{u_C(1\tau) = 0,63 \cdot [10 - (-2)] \text{ V} + (-2 \text{ V}) = 5,56 \text{ V}} \quad \rightarrow \quad \underline{\tau = 2 \text{ ms}}$$

## 4 DC-Schaltvorgang (fortgesetzt)

- Lösung DGL 1.O. mit konstanten Koeffizienten:

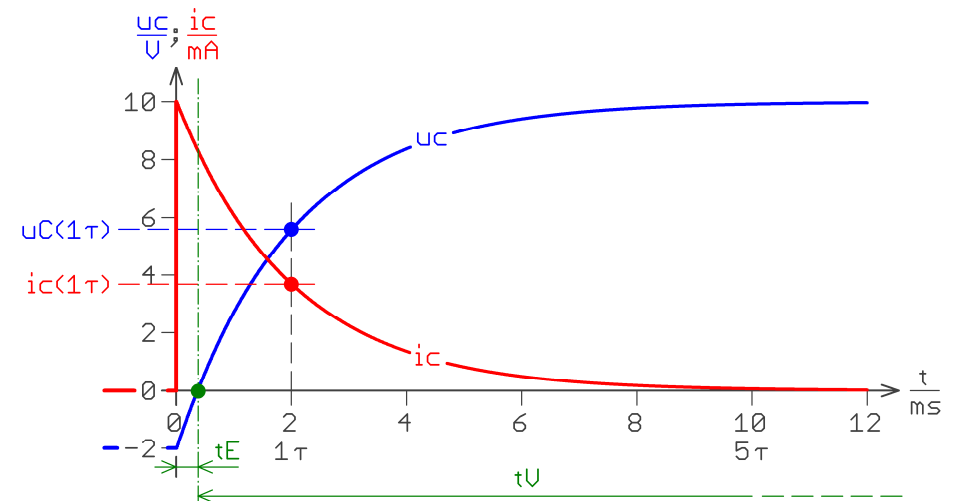
$$s(t) = [s(0) - s(\infty)] \cdot \exp\left(\frac{-t}{\tau}\right) + s(\infty) \quad \text{mit} \quad \tau = R_i \cdot C = \frac{L}{R_i}$$

$$u_C(t^*) = 0 = [-2 - (+10)] \text{ V} \cdot \exp\left(\frac{-t^*}{2 \text{ ms}}\right) + 10 \text{ V}$$

$$\frac{5}{6} = \exp\left(\frac{-t^*}{\tau}\right) \quad | \ln$$

$$\underline{\underline{t^* = -\ln\left(\frac{5}{6}\right) \cdot 0,5 \text{ ms} = 0,1823 \cdot 2 \text{ ms} = 364,6 \mu\text{s}}}$$

- c) Besitzen die Zahlenwerte von Spannung und Strom am Energiespeicher [hier  $u_C(t)$ ;  $i_C(t)$ ] das gleiche Vorzeichen, so arbeitet der Energiespeicher wie gepfeilt [hier als Verbraucher;  $t_V$ ], ansonsten umgekehrt [hier als Erzeuger,  $t_E$ ]. 4



Lsg-Abb. 4.2: Ermittlung von Zeitkonstante  $\tau$  und Arbeitsweise des Energiespeichers als Verbraucher bzw. Erzeuger